

2003年十勝沖地震津波の規模と波源域

羽鳥 徳太郎*

1. はじめに

2003年9月26日04時50分ころ、襟裳岬南東70kmの十勝沖を震源とする大規模な地震が発生し、津波を伴った。十勝沿岸域で震度6弱を記録し、地割れや噴砂現象があった。また、津波で漁船が流され、岸壁の車をのみ込み、三陸沿岸で水産養殖施設の被害が、連日テレビや新聞に大きく報道された。気象庁の発表によれば、震央は $41^{\circ} 46.7' N$, $144^{\circ} 4.7' E$, $d=42\text{ km}$ 、地震のマグニチュードはM8.0であった。

震源のメカニズム解析（中山・菊地、2003）によれば、北東一南西走向、北西斜面の低角逆断層（傾斜角 20° 、食い違い平均変位2.6m）である。今回の大規模な地震が、1952年十勝沖地震（M8.1）からわずか50年を経て、同じ地域に再発したことはきわめて異例である。

一方、津波は北海道、東北地方沿岸各地の検潮所で観測され、検潮波形が気象庁地震・火山月報（2003）に発表された。本稿では、これらの検潮記録を用い、津波の波源域や規模などを解析し、1952年十勝沖津波（中央気象台、1953）と比較検討してみる。

2. 検潮記録

今回の津波は、北海道から関東に至る検潮所（気象庁、海上保安庁、北海道開発局）で観測され、図-1には気象庁発表の記録に、観測地点名をローマ字で付記した。各記録の津波初動は、すべて押し波であった。

Table 1には、気象庁の速報値を見直し、各記録の読み取り値を示し、津波の周期と最大

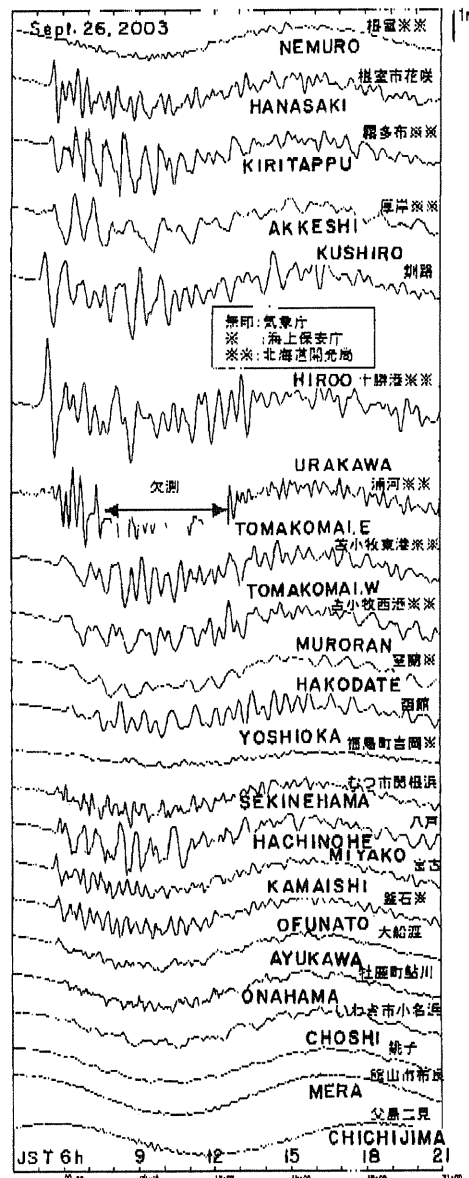


図-1 2003年十勝沖地震津波の検潮記録
(気象庁地震・火山月報による)

*元東京大学地震研究所

Table 1. The Tokachi-Oki Tsunami of Sept. 26, 2003, as recorded by tide gauges. The wave originated near the earthquake epicenter ($41^{\circ} 46.7' N$, $144^{\circ} 4.7' E$, $d=42km$, M8.0, JMA), off the Cape of Erimo, Hokkaido at 04 : 50 (JST) Sept. 26, 2003.

Tide station	Initial wave			Maximum wave			
	Travel time h m	Rise cm	Period min	C h m	Double ampl. cm	Period min	H cm
Nemro	01 04	8	15	07 25	25	15	19
Hanasaki	37	90	22	05 40	220	22	90
Kiritappu	33	43	40	08 25	218	50	130
Akkeshi	30 ?	30	50	07 11	185	50	114
Kushiro	16	102	50	09 03	265	45	118
Tokachi Pt. (Hiroo)	16	254	45	05 24	460	45	254
Urakawa	40 ?	30	16	06 24	235	18	129
Tomakomai E	55	45	65	09 06	182	30	109
Tomakomai W	59	32	60	12 31	180	20	96
Muroran	01 10	25	65	07 28	85	60	50
Hakodate	01 15	30	30	08 18	120	30	78
Hachinohe	54	63	15	08 17	200	38	99
Sekinehama	50	35	20	07 47	90	20	48
Miyako	44	57	26	05 44	120	26	57
Kamaishi	50	42	30	06 39	98	26	42
Ofunato	5	22	38	05 49	60	38	22
Ayukawa	01 09	16	25	09 00	55	25	27
Onahama	01 25	12	35	08 23	58	60	18

C, Occurrence time (Sept. 26, JST) of the maximum crest.

H, Semi-amplitude above the ordinary tides.

波の全振幅値を追加した。震源に近い十勝港（広尾）で最大波が観測され、第1波の全振幅は460cm、周期50分の長周期波であった。なお、千葉県銚子、布良および父島二見の記録は振幅が小さく、読み取り不能である。

3. 波源域

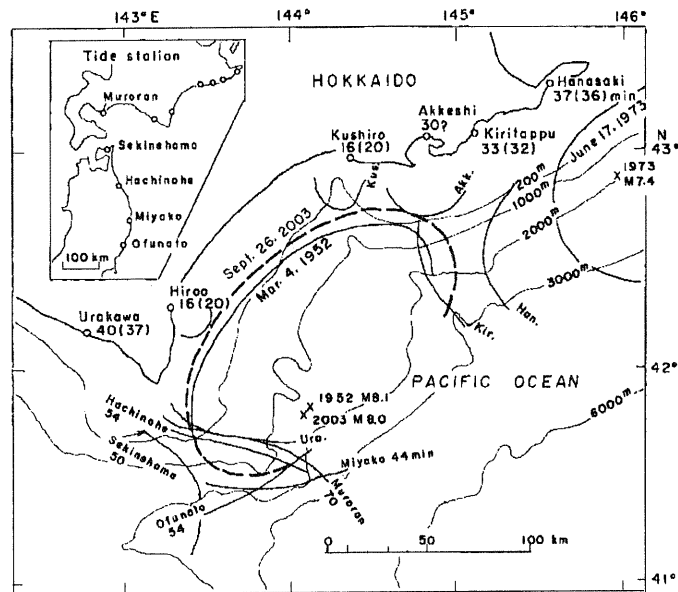
震源周辺11個所の観測点の津波伝播時間とともに、逆伝播図の方法で作図すると、最終波面は図-2のようになる。波源に近接する沿岸と、遠方の観測点からの波面に伝播時間（分）を示す。カッコ内に、1952年十勝沖津波の伝播時間（分）を付記したが、今回の津波とあまり時間差はない。なお、厚岸と浦河の津波初動はセイシユと重なり不明瞭であり、走時を考慮して伝播時間をそれぞれ30分と40分にとった波面を示した。

解析の結果、波源域は十勝沿岸に沿い、長

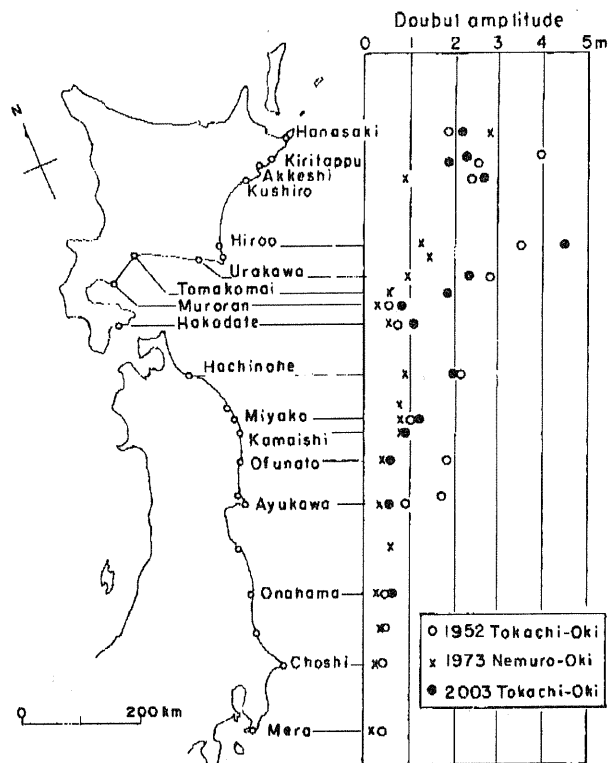
さ170km、幅80kmと推定され、1952年十勝沖津波の波源（羽鳥、1973）と重なる形になる。面積は地震の規模に見合うサイズであり、余震分布と調和的である。また、各記録の津波初動が押し波であったことから、断層運動による海底の隆起域とみなされる。

4. 津波の規模

気象庁地震・火山月報（2003）によれば、海水面からの津波の痕跡高は十勝沿岸で3mを超え、襟裳岬付近では4mに達した。また、北大・東北大学ほかの痕跡調査からも、同様な測定値が得られている。各地の検潮記録から、図-3に最大波の全振幅値の分布を1952年十勝沖津波、1973年根室半島沖津波（羽鳥、1974, 1975）と比較して示す。北海道で今回の津波は、1952年津波の振幅と同程度であり、三陸沿岸では下回った。次に筆者の方法（羽



図－2 2003年十勝沖地震津波の推定波源域。観測点と波面に伝播時間（分）を示す。カッコ内は1952年津波の伝播時間（分）



図－3 各津波による最大波の全振幅値分布

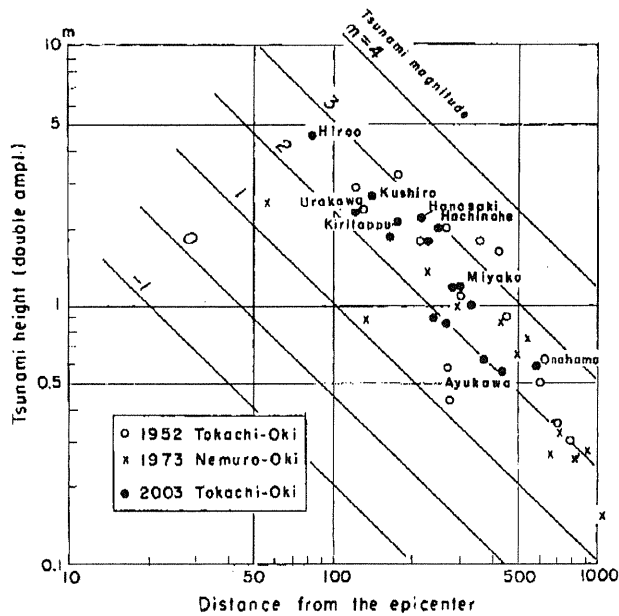


図-4 震央距離と最大片振幅値との関係。
津波マグニチュードで区分

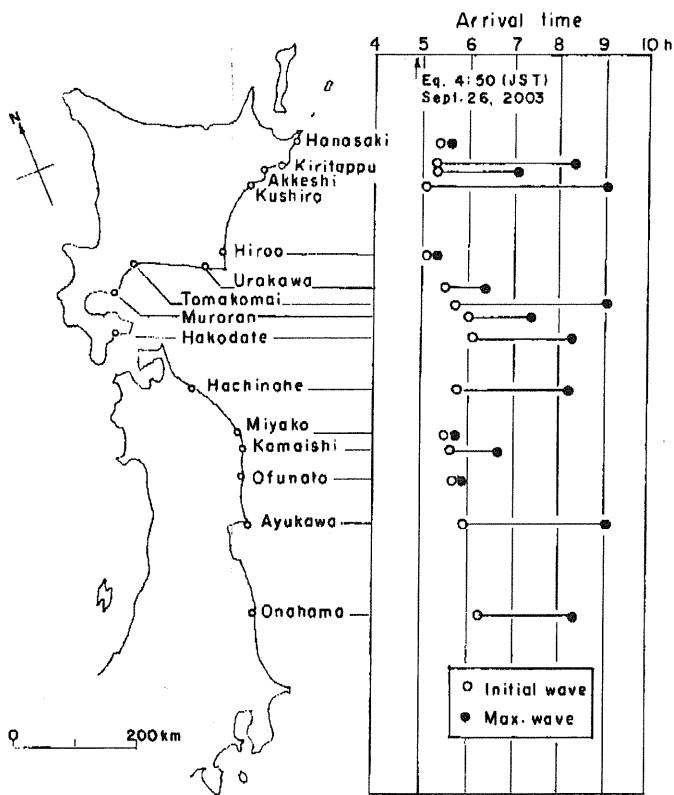


図-5 津波の第1波と最大波の時間間隔分布

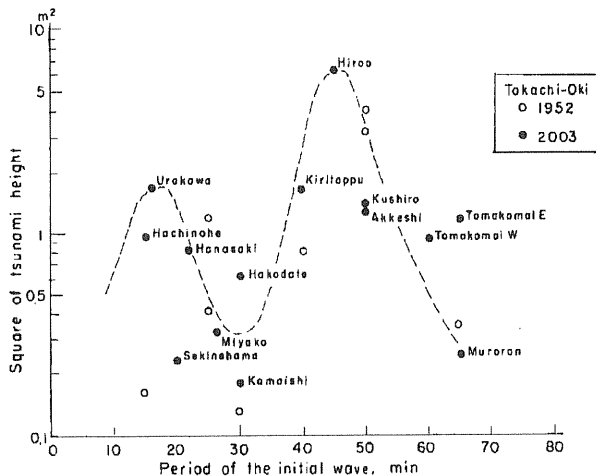


図-6 第1波の周期と波高の2乗値との関係

鳥, 1986) で 3 津波のマグニチュード (今村・飯田, スケール, m) を比較してみよう。

図-4 には、横軸に震央から観測点までの海洋上の距離、縦軸には最大波の全振幅値をとる。津波マグニチュードは、振幅が距離 Δ^{-1} で減衰するとして、2.24倍の刻みで区分される。その結果、津波マグニチュードは1952年津波と同じ $m=2.5$, 1973年津波は $m=2$ と判定される。両十勝沖津波の大きさは、地震の規模と比べて標準的である。なお、波高（最大波の片振幅）が $\Delta^{-1/2}$ で減衰するとみなす判定方法で検討してみたが、それぞれ同値を得た。一方、地震のモーメント マグニチュードに対応する阿部スケールでは、1952年津波 $M_t = 8.2$ 、今回の津波は $M_t = 8.0$ と求められている。

5. 津波の周期

検潮記録をみると、花咲と十勝港（広尾）では第1波が最大波であるが、多くの記録には最大波の出現時刻はかなり遅れて観測された。図-5 には、第1波の到達時刻（白丸）と最大波の出現時刻（黒丸）の分布を示す。その時間間隔は、2～3時間と長いことが特徴的である。

図-6 で第1波の周期と津波高（最大波の片振幅）の2乗値との関係を調べると、周期45分と15分あたりがピークになる。とくに北海道では40～65分の長周期波の観測点が多い。1952年津波の分布も同じパターンである。なお、三陸沿岸では北海道東方沖・南千島の津波に対しても、同じ周期特性がみられた（羽鳥, 1996）。

津波挙動は長周期波を反映し、釧路では漁船が次の波が来襲する前に避難できたと、新聞報道された。半面、港湾では海面の上昇が長く続き、流入量が増して水流が速まった。例えば、大船渡では波高がわずか60cm程度であったが、カキ養殖筏が流される被害に見舞われた。

6. むすび

検潮記録を用い、2003年十勝沖地震津波の規模や波源域などを解析した。津波マグニチュードは $m=2.5$ と推定され、1952年津波と同値で地震の規模に見合う規模である。最大波は津波初動から 2～3 時間後に観測した地点が多く、北海道沿岸では45分前後の長周期波が卓越した。津波の逆伝播図によると、波源域は長さ170km、幅80kmと推定され、1952

年津波の波源域と重なる形になる。わずか50年を経て、同じ地域に大地震が繰り返されたことは、きわめて異例である。

今回の津波と1973年根室沖津波の波源域との間、約50km区間、厚岸沖が空白域になる。1952年十勝沖津波のインバージョン解析によれば (Hirata et al., 2003), この区域で大きなすべり変位があったとしているが、今回の地震ではそこまで余震域は伸びていない。また、1894年根室沖津波の波源域は、色丹島から厚岸沖まで延長しており (羽鳥, 1974), 今後空白域に留意したい。

参考文献

- 中央気象台, 1953 : 昭和27年3月十勝沖地震調査報告, 駿震時報, Vol. 17 (1-2), 135p.
羽鳥徳太郎, 1973 : 1952年十勝沖津波の波源の再検討, 地震 2, Vol. 26, pp.206-208.
羽鳥徳太郎, 1974 : 1973年根室半島沖津波の波源域と1894年津波との比較, 地震研究所

研究速報, Vol. 13, pp. 67-76.

羽鳥徳太郎, 1975 : 1973年根室半島沖津波とその後の津波活動, 地震 2, Vol. 28, pp. 461-471.

羽鳥徳太郎, 1986 : 津波の規模階級の区分, 地震研究所彙報, Vol. 61, pp. 503-515.

羽鳥徳太郎, 1996 : 北海道東部・南千島津波による三陸港湾の波高増幅度, 津波工学研究報告, No. 13, pp. 27-31.

Hirata, K., E. Geist K. Satake, Y. Tanioka and S. Yamaki, 2003 : Slip distribution of the 1952 Tokachi-Oki earthquake (M8.1) along the Kuril Trench deduced from tsunami waveform inversion. J. Geophys. Res., Vol. 108, ESE 6-1-15.

気象庁, 2003 : 平成15年9月地震・火山月報(防災編).

山中佳子・菊地正幸, 2003 : 9月26日十勝沖地震 (M_j 8.0), EIC地震学ノートNo. 139, 東大震研情報センター.